



تحقیقات آب و خاک ایران | دوره ۵۲ | شماره ۱۰ | دی ۱۴۰۰ (ص ۲۵۲۷-۲۵۱۵)

<https://dx.doi.org/10.22059/ijswr.2021.327604.669034>

(مقاله علمی-پژوهشی)

Investigation the Effect of Climate Change and Planting Date on Maize Yield using WOFOST Model

PEZHMAN SALARIEH¹, MOJTABA KHOSHRAVESH^{1*}, REZA NOROOZ VALASHEDI¹, ALIREZA KIANI²

1. Department of Water Engineering, Faculty of Agricultural Engineering, Sari Agricultural Sciences and Natural Resources University, Sari, Iran.

2. Agricultural Engineering Department, Golestan Agricultural and Natural Resources Research and Education Center, Agricultural Research, Education and Extension Organization (AREEO), Gorgan, Iran.

(Received: July. 22, 2021- Revised: Sep. 10, 2021- Accepted: Sep. 18, 2021)

ABSTRACT

Given the advancement of technology and the growing population in the world, the need to recognize and pay attention to the phenomenon of climate change is inevitable. The purpose of this study is to investigate the changes in maize yield for future years in Gorgan with a change in planting date. In this research, the grain yield of maize SC late maturing for future conditions was investigated using WOFOST model in Gorgan city based on different deficit irrigation treatments and different planting dates. Irrigation treatments including 100% (T1), 75% (T2) and 50% (T3) of water requirement. For this purpose, using SDSM statistical model and HadCM3 general circulation model for all scenarios, the fifth microscale report was performed in the next two thirty-year periods (2020-2050 and 2050-2080). Data for the period 1980-1995 were used to calibrate the SDSM model and data for the period 1995-2010 were used for validation. The WOFOST model was calibrated by the measurement data of 1391 and then the data of 1392 were used for validation. Statistical indices of root mean square error (RMSE), compatibility index (d), model efficiency coefficient (E), explanation coefficient (R^2) and residual coefficient (CRM) related to grain yield simulation in calibration period was equal to 0.217 tons per hectare, 0.97, 0.94, 0.93 and 0.15, respectively and in the validation period, was obtained 0.241 tons per hectare, 0.98, 0.93, 0.96 and 0.14, respectively. The numbers obtained indicate the good performance of the WOFOST model. Also, the maize grain yield was simulated for four different planting dates in three treatments of T1, T2 and T3. In the period 2020-2050, the lowest yield was predicted 4.3 tons per hectare in T3 treatment under the RCP8.5 scenario on 2 June, which is a decrease of 32.81% compared to the base period. In the period 2050-2080, the lowest yield was predicted 3.3 tons per hectare in T3 treatment under the RCP8.5 scenario on 2 June, which is a decrease of 48.43% compared to the base period. The best planting date for corn in Gorgan city is June 23, which can be used for better management of cultivation and irrigation in Gorgan.

Keywords: SDSM Model, Downscaling Model, HadCM3, Grain Yield.

*Corresponding author's E-mail: m.khoshravesh@sanru.ac.ir, khoshravesh_m24@yahoo.com

بررسی اثر تغییر اقلیم و تاریخ کشت بر عملکرد ذرت با استفاده از مدل WOFOST

پژمان سالاریه^۱، مجتبی خوشروش^{۱*}، رضا نوروز ولاشی^۱، علیرضا کیانی^۲

۱. گروه مهندسی آب، دانشکده مهندسی زارعی، دانشگاه علوم کشاورزی و منابع طبیعی ساری، ساری، ایران.
۲. بخش تحقیقات فنی و مهندسی، مرکز تحقیقات و آموزش کشاورزی و منابع طبیعی استان گلستان، سازمان تحقیقات، آموزش و ترویج کشاورزی، گرگان، ایران.

(تاریخ دریافت: ۱۴۰۰/۴/۳۱ - تاریخ بازنگری: ۱۴۰۰/۶/۱۹ - تاریخ تصویب: ۱۴۰۰/۶/۲۷)

چکیده

با توجه به پیشرفت فناوری و افزایش روزافزون جمعیت در دنیا لزوم شناخت و توجه به پدیده تغییر اقلیم امری اجتناب ناپذیر است. هدف از پژوهش بررسی تغییرات عملکرد گیاه ذرت برای سال‌های آتی در شهرستان گرگان به همراه تغییر تاریخ کشت می‌باشد. در این پژوهش با استفاده از مدل گیاهی WOFOST در شهرستان گرگان بر اساس تیمارهای مختلف کم آبیاری و تاریخ‌های مختلف کشت به بررسی عملکرد دانه گیاه ذرت سینگل کراس دیر رس برای شرایط آینده پرداخته شد. تیمارهای آبیاری شامل ۱۰۰ درصد (T_1)، ۷۵ درصد (T_2) و ۵۰ درصد (T_3) آب مورد نیاز گیاه می‌باشد. به این منظور با کمک مدل آماری SDSM و مدل گردش عمومی جو HadCM3 برای تمام سناریوهای گزارش پنجم ریزمقیاس‌نمایی در دو دوره سی‌ساله آتی (۱۴۰۰-۲۰۵۰ و ۲۰۲۰-۲۰۸۰) انجام شد. برای واسنجی مدل SDSM از داده‌های دوره ۱۹۸۰-۱۹۹۵ و برای صحبت‌سنجدی از داده‌های دوره ۱۹۹۵-۲۰۰۵ استفاده شد. مدل WOFOST توسط داده‌های اندازه‌گیری سال ۱۳۹۱ واسنجی و بعد از آن برای صحبت‌سنجدی از داده‌های سال ۱۳۹۲ استفاده شد. شاخص‌های آماری جذر میانگین مربعات خطأ (RMSE)، شاخص سازگاری (d)، ضریب کارایی مدل (E)، ضریب تبیین (R^2) و ضریب باقی‌مانده (CRM) مربوط به شبیه‌سازی عملکرد دانه در مرحله واسنجی به ترتیب برابر ۰/۲۱۷، ۰/۹۷، ۰/۹۴، ۰/۹۳ و ۰/۱۵ و در مرحله صحبت‌سنجدی به ترتیب برابر ۰/۰۲۴۱، ۰/۹۸، ۰/۹۳، ۰/۹۶ و ۰/۱۴ به دست آمد. اعداد به دست آمده نشان‌دهنده کارایی خوب مدل WOFOST می‌باشد. همچنین برای چهار تاریخ کشت مختلف در سه تیمار T_1 ، T_2 و T_3 عملکرد گیاه ذرت شبیه‌سازی شد. در دوره ۲۰۰۵-۲۰۲۰ کمترین عملکرد در تیمار T_3 تحت سناریوی RCP8.5 در تاریخ ۱۲ خرداد به مقدار ۴/۳ تن بر هکتار پیش‌بینی شد که نسبت به دوره پایه ۳۲/۸۱ درصد کاهش دارد. در دوره ۲۰۸۰-۲۰۵۰ کمترین عملکرد در تیمار T_3 تحت سناریوی RCP8.5 در تاریخ ۱۲ خرداد به مقدار ۳/۳ تن بر هکتار پیش‌بینی شد که نسبت به دوره پایه ۴۸/۴۳ درصد کاهش دارد. بهترین زمان تاریخ کشت برای گیاه ذرت در شهرستان گرگان ۲ تیر می‌باشد که از این نتایج می‌توان برای مدیریت بهتر کشت و آبیاری در شهرستان گرگان استفاده نمود.

واژه‌های کلیدی: مدل SDSM، ریزمقیاس‌نمایی، HadCM3، عملکرد دانه.

اساس آمار سازمان تجارت جهانی (Dowswell, 2019)، کل تولید

ذرت علوفه‌ای جهان ۱۵۱۵ میلیون تن اعلام شده است. در ایران نیز بر اساس آمارنامه محصولات کشاورزی در سال زراعی ۱۳۹۶، میزان تولید ذرت علوفه‌ای بیش از ۱۱/۳ میلیون تن بوده و اهمیت این محصول در چرخه تولید موادغذایی را بیان می‌کند (Mohammadkhani *et al.*, 2020). با توجه به مقدار سطح زیر کشت ذرت، هرگونه اقدام برای افزایش بهره‌وری مصرف آب، سبب افزایش تولید به ازای واحد مصرف آب خواهد شد و همچنین تضمین کننده امنیت غذایی در کشور است. بنابراین یکی از مهم ترین عوامل تاثیرگذار بر رشد و عملکرد محصول، اثرات تغییر اقلیم است. تغییر اقلیم دارای تبعات منفی است ولی با شناخت

مقدمه

تغییر اقلیم تاکنون به عنوان یکی از مهم‌ترین پارامترهای تاثیرگذار بر محیط در جوامع علمی سراسر دنیا معرفی شده است. به گزارش هیئت بین‌الدول تغییر اقلیم، میانگین دمای سطح زمین طی سال ۲۰۱۰-۲۰۱۶ درجه سانتی‌گراد افزایش یافته است و این افزایش تا انتهای سال ۲۱۰۰ به ۱/۵ درجه سانتی‌گراد خواهد رسید (IPCC, 2014). از علل بارز و قابل توجه پیدایش این پدیده، روند رو به افزایش گازهای گلخانه‌ای، صنعتی شدن جوامع و در پی آن رشد بی‌سابقه استفاده از سوخت‌های فسیلی است. به طوری که هرگونه تغییر در وضعیت آب و هوای جهان، به صورت مستقیم در تولید محصولات کشاورزی تاثیرگذار خواهد بود. بر

WOFOST دقت بیشتری نسبت به مدل AquaCrop داشت. WOFOST (Ahmadi *et al.* 2019) به واسنجی و اعتبارسنجی مدل WOFOST برای گندم زمستانه در دشت قزوین پرداختند و گزارش کردند که مدل شبیه‌سازی بازش قابل قبولی با داده‌های مشاهده‌ای نشان داد. و کلیه مقادیر کمتر از مقدار مزرعه‌ای برآورد شد و بیشترین کارایی در برآورد شاخص سطح برگ برابر ۰/۹۸ بود. Ceglar & Bogataj (2012) عملکرد ذرت را با استفاده از مدل WOFOST در شرایط تغییر اقلیم آینده پیش‌بینی کردند و نشان دادند که عملکرد در دهه ۲۰۵۰ به طور متوسط بین ۱۰ تا ۱۶ درصد و در دهه ۲۰۹۰ بین ۲۷ تا ۳۴ درصد کاهش می‌یابد. Wilby *et al.* (2006) مدل شبیه‌سازی WOFOST را برای سنجش پتانسیل تولید ذرت در دشت شمالی چین به کار گرفتند. در این مطالعه از آمار ۴۰ ساله ۲۲ ایستگاه هواشناسی استفاده شد. پتانسیل عملکرد در بخش شمالی دشت به وسیله بارش محدودیت می‌یابد و در بخش جنوبی دشت تابش کم و دمای بالا مهم‌ترین عامل محدودیت عملکرد بود. به‌طورکلی پتانسیل عملکرد ذرت در بخش شمالی دشت بالاتر از بخش جنوبی آن است. Bhatia *et al.* (2008) مطالعه‌ای را به‌هدف تعیین پتانسیل تولید گندم در بزرگ‌ترین منطقه کشت گندم در چین و با در نظر گرفتن تغییرات مکانی و زمانی عملکرد انجام دادند. آن‌ها از مدل WOFOST برای تعیین عملکرد پتانسیل، تحت شرایط محدودیت آب استفاده کردند. در بخش شمالی منطقه، پتانسیل تولید ۹/۷ تن بر هکتار برآورد شد. این در حالی است که میانگین عملکرد در شرایط محدودیت آب ۳ تن بر هکتار تخمین زده شد. در قسمت‌های جنوبی متوسط عملکرد در شرایط محدودیت آب ۷/۵ تن بر هکتار تخمین زده شد و نتیجه گرفته شد که در مناطق شمالی بارندگی محدود کننده عملکرد بوده است. Rahimi- Moghaddam *et al.* (2019) گزارش نمودند که به‌طور متوسط عملکرد دانه ذرت در استان کرمانشاه در سال ۲۰۵۰ نسبت به دوره پایه تحت سناریوهای RCP4.5 و RCP8.5 به ترتیب ۶۰/۸۲ و ۸۰/۷۳ درصد کاهش می‌یابد. نتایج نشان داد که به‌طور میانگین بالاترین عملکرد در شرایط تغییر اقلیم در یک تاریخ کاشت زودهنگام (۱۶ فروردین) با ۷۰/۷۱ و ۴۷/۴۳ کیلوگرم بر هکتار به ترتیب در سناریوهای RCP4.5 و RCP8.5 به دست آمد. در دوره آینده به‌طور متوسط طول دوره رشد، رشد رویشی و رشد زایشی به ترتیب ۴/۷، ۴ و ۱/۷ درصد نسبت به دوره پایه کاهش خواهد داشت. همچنین در دوره آینده میانگین وزن دانه در استان کرمانشاه کاهش خواهد یافت به‌طوری‌که تحت سناریوهای RCP4.5 و RCP8.5 به ترتیب برابر ۳۱/۸ و ۵۹/۳ درصد می‌باشد. با توجه به اهمیت تولید ذرت به عنوان یک محصول

آن می‌توان این اثرات را به نقطه قوت تبدیل کرد. طبق گزارش هیئت بین‌الدول تغییر اقلیم، بیشترین افزایش دما در سطح زمین در پایان قرن بیستم از سال ۱۹۱۰ تا ۱۹۴۵ و از سال ۱۹۷۶ تا ۲۰۰۰ اتفاق افتاده است (Sarafrouzeh *et al.*, 2014). افزایش دما، فرایندهای مختلف گیاهی مانند فتوسنتز، تنفس و توزیع و تخصیص تولیدات فتوسنتزی را تحت تاثیر قرار می‌دهد و افزایش دمای ناشی از تغییر اقلیم سبب کاهش عملکرد گیاهان زراعی و پاسخ‌های رشدی پیچیده شده و این اثرات در مناطق و گیاهان مختلف می‌تواند متفاوت باشد. Ghonchehpour *et al.* (2019) عملکرد مدل SDSM برای سه دوره ۲۰۰۶-۲۱۰۰ در حوضه رودخانه گرگان رود را تحت سناریوهای RCP2.6 و RCP8.5 مورد بررسی قرار دادند و گزارش کردند که مقدار بارش در ایستگاه‌های تمر، چشمه‌خان، بهلکه‌داشلی و غفار حاجی در هر سه دوره زمانی بررسی شده و تحت هر دو سناریو افزایش یافته و در مقابل، در ایستگاه‌های گرگان و آرازکوسه کاهش می‌یابد. علاوه بر این، مقدار کمترین دما نیز در دوره‌های بررسی شده و تحت هر دو سناریو در ایستگاه‌های گرگان، چشمه‌خان، آرازکوسه به جز دوره ۲۱۰۰-۲۰۷۱ تحت سناریوی RCP8.5 افزایش یافته و در ایستگاه‌های تمر، بهلکه‌داشلی و غفار حاجی کاهش می‌یابد.

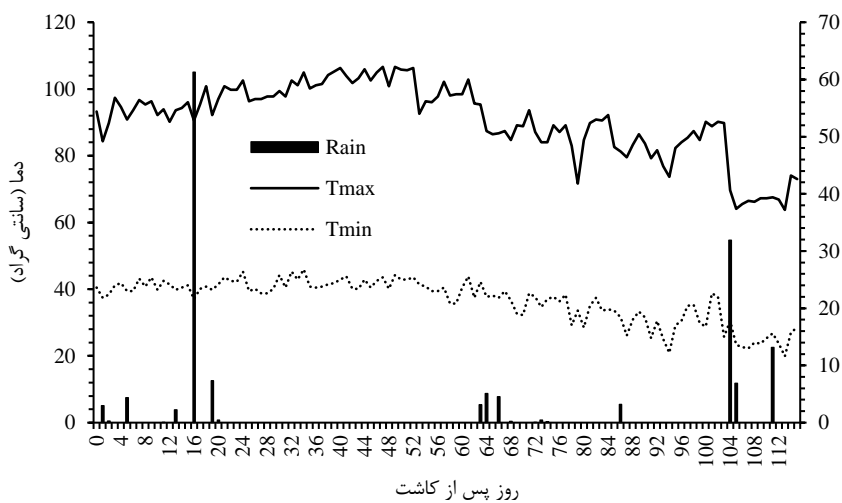
برای بررسی اثرات تغییر اقلیم بر تولید گیاهان زراعی، می‌توان از مدل‌های گیاهی استفاده کرد و با تولید داده‌های روزانه برای سال‌های آینده، خروجی این مدل‌های ریزمقیاس‌کننده را به عنوان ورودی مدل‌های گیاهی لحاظ و میزان عملکرد گیاهان را تحت تغییرات اقلیمی داده‌های آتی برآورد کرد. مدل‌های گیاهی زیادی برای بررسی پدیده تغییر اقلیم وجود دارد. یکی از آن‌ها مدل WOFOST است. مدل WOFOST به دلیل دقت بالا در اثر پارامترهای ورودی بیشتر و قابلیت تلفیق با سامانه اطلاعات جغرافیایی، ابزاری مناسب برای تحلیل و ارزیابی سامانه‌های مزرعه است. این مدل یک مدل عمومی و دینامیکی برای شبیه‌سازی رشد گیاهان است که برای استفاده از مدل نیاز به استفاده از داده‌های به‌روز اقلیمی، گیاهی و خصوصیات خاک است. این مدل در دانشگاه واخنینگن هلند طراحی و برای اولین بار در سه کشور آفریقایی غنا، کنیا و بورکینافاسو انجام شد (Ma *et al.*, 2013). Egdernezhad *et al.* (2018) دو مدل AquaCrop و WOFOST را برای شبیه‌سازی عملکرد گیاه ذرت تحت مدیریت‌های مختلف آب مصرفی (۵۰، ۷۵، ۱۰۰ و ۱۵۰ میلی‌متر) در شهرستان اهواز استفاده کردند. نتایج آماره RMSE برای عملکرد دانه ذرت توسط مدل‌های WOFOST و AquaCrop به ترتیب برابر با ۰/۱۵ و ۰/۱۵ تن بر هکتار و برای زیست توده به ترتیب برابر با ۰/۹۲ و ۰/۸۸ تن در هکتار بود و به‌طور کلی مدل

بیشتر از سه برابر خشک‌ترین ماه سال است و بارش خشک‌ترین ماه سال کمتر از ۳۰ میلی‌متر است. ایستگاه فوق بر اساس روش کوپن دارای آب و هوای معتدل و مرطوب با دمای حداقل ۱۰- درجه سانتی‌گراد در دی ماه و حداقل ۴۵ درجه سانتی‌گراد در مرداد ماه و میانگین بارش سالیانه $527\frac{4}{4}$ میلی‌متر است. در کرت‌هایی به ابعاد ۳ متر در ۲۰ متر با سه تکرار، کشت ذرت رقم سینگل کراس $70\frac{4}{4}$ دیررس انجام شد. در زمینی به ابعاد متر تاریخ کاشت ذرت در سال اول و دوم کشت به ترتیب ۱۳۹۱/۴/۱۳ و $1392\frac{4}{4}/13$ بود. تاریخ برداشت محصول ذرت نیز به ترتیب $1391\frac{8}{3}$ و $1392\frac{8}{18}$ بود. نمودار تغییرات دمای حداقل و حداقل و بارش روزانه در طول دوره رشد گیاه برای سال‌های ۱۳۹۱ و ۱۳۹۲ به ترتیب در شکل‌های (۱) و (۲) ارائه شده است.

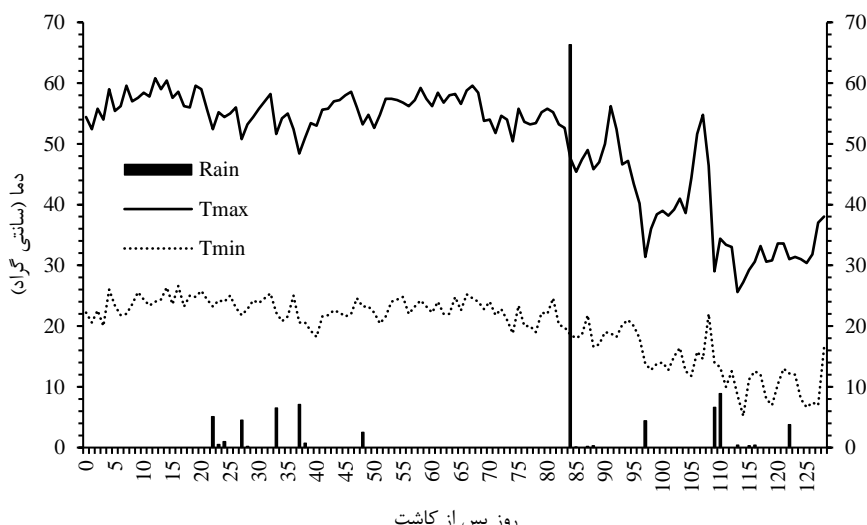
استراتژیک جهت امنیت غذایی و همچنین افزایش کارایی مصرف آب، شبیه‌سازی عملکرد گیاه ذرت با مدل WOFOST برای سال‌های آتی و در شرایط تغییر تاریخ کشت در شهرستان گرگان از اهداف این پژوهش است.

مواد و روش‌ها

این پژوهش در مزرعه تحقیقات کشاورزی شهرستان گرگان وابسته به مرکز تحقیقات کشاورزی و منابع طبیعی استان گلستان با عرض جغرافیایی 36° درجه و 45° دقیقه شمالی و طول جغرافیایی $55\frac{4}{4}$ درجه و 25° دقیقه شرقی با متوسط بارندگی سالانه $527\frac{4}{4}$ میلی‌متر با میانگین بیشترین و کمترین درجه حرارت روزانه به ترتیب $32\frac{5}{5}$ و $13\frac{3}{3}$ درجه سانتی‌گراد اجرا شد. در ایستگاه هاشم آباد گرگان، حداقل بارش مرطوب‌ترین ماه سال



شکل ۱- تغییرات دمای حداقل و حداقل و بارش روزانه در طول دوره رشد گیاه در سال ۱۳۹۱



شکل ۲- تغییرات دمای حداقل و حداقل و بارش روزانه در طول دوره رشد گیاه در سال ۱۳۹۲

آب با دبی اسمی ۲ لیتر در ساعت (۱۰ لیتر در ساعت به ازای هر متر طول نوار) در فشار یک اتمسفر تعییه شده بود. برای بدست آوردن مقدار نیاز آبیاری از رطوبت خاک به صورت وزنی استفاده شد. خصوصیات فیزیکی خاک و تیمارهای مورد مطالعه در جدول‌های (۱) و (۲) آورده شده است.

برای آبیاری از سیستم قطره‌ای-نواری استفاده شده است. سیستم آبیاری قطره‌ای شامل یک لوله اصلی در جهت طولی زمین و کنار مزرعه قرار داده و به فواصل ۲۰ متر در یک انشعاب فرعی برای هر یک از تکرارها در نظر گرفته شده است. نوارهای تیپ در هر ردیف ۲۰ متر و در هر ۲۰ سانتی‌متر یک روزه خروج

جدول ۱- خصوصیات فیزیکی خاک مزروعه مورد مطالعه

ρ_b (gr/cm ³)	PWP	FC	درصد وزنی رطوبت	بافت خاک	درصد ذرات خاک		عمق (cm)
					ش	سیلت	
۱/۳	۱۱/۵	۲۴	لوم	۳۲/۸	۴۶	۲۱/۲	۰-۳۰
۱/۳۵	۱۲/۸	۲۵	لومی سیلیتی	۲۲/۸	۵۶	۲۱/۲	۳۰-۶۰
۱/۳	۱۱/۶	۲۴/۹	لوم	۲۴/۸	۴۸	۲۷/۲	۶۰-۹۰

جدول ۲- تیمارهای مورد مطالعه در طرح آزمایشی و مقدار آب دریافتی

تیمار	سال اول کشت	سال دوم کشت
T ₁	۱۰۰ درصد آب مورد نیاز گیاه (۲۸۴ میلی‌متر)	۱۰۰ درصد آب مورد نیاز گیاه (۳۸۵ میلی‌متر)
T ₂	۷۵ درصد آب مورد نیاز گیاه (۲۱۳ میلی‌متر)	۷۵ درصد آب مورد نیاز گیاه (۲۸۹ میلی‌متر)
T ₃	۵۰ درصد آب مورد نیاز گیاه (۱۴۶ میلی‌متر)	۵۰ درصد آب مورد نیاز گیاه (۱۹۳ میلی‌متر)

در این رابطه I_g عمق ناخالص آب کاربردی بر حسب میلی‌متر و I_n عمق ناخالص نیاز آبیاری بر حسب میلی‌متر که برابر SMD می‌باشد و E_n راندمان کاربرد آبیاری که در این طرح برابر ۸۵ درصد در نظر گرفته شد. همچنین برای به دست آوردن بهره‌وری آب آبیاری و بارش از روابط ۴ و ۵ استفاده شد (Zabihi et al., 2017).

$$(رابطه ۴) \quad \frac{\text{کیلوگرم در هکتار}}{\text{متراحتکار}} = \frac{\text{بهره‌وری آب آبیاری}}{\text{مقدار آب آبیاری}}$$

$$(رابطه ۵) \quad \frac{\text{کیلوگرم در هکتار}}{\text{متراحتکار}} = \frac{\text{بهره‌وری}}{\text{مجموع آب آبیاری و بارش}}$$

داده‌های اقلیمی از ایستگاه هواشناسی هاشم‌آباد در مجاورت ایستگاه تحقیقاتی کشاورزی شهرستان گرگان برای دوره ۱۹۸۰-۲۰۱۰ جمع‌آوری شد. عملکرد محصول ذرت نیز بر اساس این پارامترها شامل (دما، بارش، رطوبت نسبی و ...) شبیه‌سازی شد. مدل HadCM3 از مدل‌های گردش عمومی جفت شده جوی-اقیانوسی است که توسط گوردن و همکاران و پوپ و همکاران در سال ۲۰۰۰ این مدل دارای قدرت تفکیک افقی ۲/۵ در ۳/۷۵ درجه عرض و طول جغرافیایی است. تعداد لایه‌های این مدل در راستای قائم جو ۱۹ و در عمق خاک ۴ لایه است. همچنین گام زمانی مدل ۳۰ دقیقه است. مدل اقیانوسی HadCM3 دارای ۲۰ لایه با قدرت تفکیکی افقی ۱/۲۵ در ۱/۲۵ نقطه است. بنابراین برای هر نقطه شبکه‌ای در مدل جوی، شش نقطه در مدل اقیانوسی وجود دارد. شبیه‌سازی مدل گردش

برای بدست آوردن آب کاربردی از پایش رطوبت خاک استفاده شد. رطوبت خاک در سه عمق ۰-۳۰-۶۰ و ۶۰-۹۰ سانتی‌متری اندازه‌گیری شد. عمق آب آبیاری مزرعه آزمایشی بر اساس اندازه‌گیری رطوبت خاک و محاسبه کمبود رطوبت خاک در تیمار بدون تنفس (T1) در بازه زمانی ۷ روزه که تخلیه رطوبت خاک به ۵۰ درصد آب قبل دسترسی می‌رسید به شرح زیر برآورد شد. میزان رطوبت حجمی خاک در زمان آبیاری از رابطه ۱ محاسبه شد (Pourgholam-Amiji et al., 2020).

(رابطه ۱)

$$\Theta_{RI} = \Theta_{FC} - (\Theta_{FC} - \Theta_{PWP}) * MAD$$

که در آن Θ_{RI} میزان رطوبت حجمی خاک در زمان آبیاری، Θ_{PWP} میزان رطوبت در نقطه پژمردگی دائم، Θ_{FC} میزان رطوبت در حد گنجایش زراعی و MAD میزان مجاز تخلیه رطوبتی است که برابر ۵۰ درصد در نظر گرفته شد. پایش رطوبت به صورت روزانه در هر سه سطح آبیاری انجام گرفت. کمبود رطوبت خاک تا حد FC (SMD) از رابطه ۲ بدست آمد.

$$SMD = \sum_{i=1}^n (\theta_{Fi} - \theta_{Bi}) * D_i \quad (رابطه ۲)$$

که در آن D_i عمق لایه i ام خاک، n تعداد لایه‌ها در عمق توسعه ریشه، θ_{Bi} رطوبت حجمی خاک قبل از آبیاری، θ_{Fi} رطوبت حجمی خاک در حد گنجایش زراعی و n شماره لایه‌های خاک در عمق توسعه ریشه‌ها می‌باشد. با برابر فرض کردن عمق خالص آبیاری با کمبود رطوبت خاک عمق ناخالص آبیاری از رابطه ۳ بدست آمد.

$$I_g = I_n / E_n \quad (رابطه ۳)$$

عملکرد شبیه‌سازی شده برای همان شرایط

- در صورت عدم تطابق عملکرد شبیه‌سازی شده با عملکرد واقعی، با تغییر پارامترهای واسنجی، مراحل فوق‌الذکر تکرار شد تا نتایج عملکرد شبیه‌سازی شده با دقت قابل قبولی بر عملکرد واقعی منطبق گردد.

- بهمنظور صحتسنجی مدل، با استفاده از اطلاعات اندازه‌گیری شده، عملکرد محصول در تیمارهای مختلف شبیه‌سازی و با عملکرد واقعی مقایسه شد.

پس از پردازش اولیه داده‌ها، به بررسی شبیه‌سازی عملکرد دانه گیاه ذرت، تحت تیمارهای مختلف آبیاری و برای تاریخ‌های مختلف کشت، در دوره‌های آتی پرداخته شد. پیش‌بینی عملکرد محصول ذرت در اثر تغییرات اقلیمی آتی، در تاریخ‌های کشت مختلف بررسی و تاریخی که بیشترین عملکرد را دارد با عملکرد محصول در شرایط گذشته مقایسه شد. برای صحتسنجی نتایج حاصل از مدل و ارزیابی قابل اعتماد بودن مدل از شاخص‌های آماری RMSE (ریشه میانگین مربعات خط) (Mirnaseri *et al.*, 2015), E (ضریب کارایی مدل) (Khoshravesh *et al.*, 2017), CRM (Pourgholam-Amiji *et al.*, 2021) و (Pourgholam Amiji *et al.*, 2019) (ضریب توده باقی‌مانده) استفاده شد.

$$\text{RMSE} = \sqrt{\frac{1}{n} \sum_{i=1}^n (S_i - M_i)^2} \quad (رابطه ۶)$$

$$d = 1 - \frac{\sum_{i=1}^n (S_i - M_i)^2}{\sum_{i=1}^n (|S_i - \bar{M}| + |M_i - \bar{M}|)^2} \quad (رابطه ۷)$$

$$E = 1 - \frac{\sum_{i=1}^n (S_i - M_i)^2}{\sum_{i=1}^n (M_i - \bar{M})^2} \quad (رابطه ۸)$$

$$R^2 = \frac{\sum_{i=1}^n (S_i - \bar{S})(M_i - \bar{M})^2}{\sum_{i=1}^n (S_i - \bar{S})^2 \sum_{i=1}^n (M_i - \bar{M})^2} \quad (رابطه ۹)$$

$$CRM = \frac{\sum_{i=1}^n M_i - \sum_{i=1}^n S_i}{\sum_{i=1}^n M_i} \quad (رابطه ۱۰)$$

در این پژوهش برای مقایسه مقادیر واقعی و شبیه‌سازی در مدل WOFOST و مدل SDSM از آزمون t جفت نشده استفاده شد. در این آزمون دو فرض صفر و یک در نظر گرفته شد. اگر فرض صفر پذیرفته شد اختلاف معنی‌داری بین داده‌های شبیه‌سازی و مشاهداتی نیست و اگر فرض یک پذیرفته شد، اختلاف معنی‌داری بین داده‌های شبیه‌سازی و مشاهداتی وجود دارد. همچنین از آزمون کولموگروف-امیرنوف (KS) برای توزیع نرمال بودن داده‌ها برای پارامترهای دما و بارش در مدل SDSM استفاده شد (Khoshravesh *et al.*, 2016; Shafiei *et al.*, 2018).

هدف از آنالیز حساسیت، شناخت پارامترهای تاثیرگذار بر نتایج خروجی مدل می‌باشد که برای واسنجی و تحلیل عدم

عمومی جو GCM برای بررسی روند افزایش غلظت گازهای گلخانه‌ای تاثیری زیادی دارد، در این مدل داده‌ها در مقیاس بزرگ است. لذا برای شبیه‌سازی بیشتر با شرایط واقعی محل مطالعه و همانندی بیشتر با داده‌های پیش‌بینی شده نیاز است که داده‌ها ریزمقیاس شوند. ریزمقیاس‌نمایی به دو روش دینامیکی و آماری صورت می‌پذیرد. از نقاط قوت روش ریزمقیاس‌نمایی آماری می‌توان به محاسبات ساده، تولید انواع متغیرها، تولید داده‌های اقلیمی در مقیاس ایستگاه و امکان بررسی انواع سناریوهای اقلیمی و تحلیل عدم قطعیت آن‌ها اشاره کرد. روش SDSM یکی از روش‌های آماری است، که به دلیل سهولت، اقتصادی بودن و Khoshravesh & Norooz Valashedi, (2020). مدل گیاهی که در این مطالعه برای شبیه‌سازی و تخمین عملکرد گیاه ذرت مورد استفاده قرار گرفت، مدل WOFOST می‌باشد. این مدل دینامیکی قادر است در شرایط کمبود، پتانسیل رشد گیاه را از نظر فنولوژیکی از دوره آغاز رشد گیاه تا برداشت شبیه‌سازی کند. خصوصیات فیزیکی خاک، پارامترهای گیاهی و مقادیر آب و هواشناسی داده‌های موردنیاز در این مدل است (Shafiei *et al.*, 2018). داده‌های ورودی به این مدل شامل بارش، حداقل دما، حداکثر دما، سرعت باد و فشار بخار است. در حالت تولید پتانسیل، سرعت رشد گیاه بر اساس خصوصیات گیاهی و شرایط آب و هوایی تعیین می‌شود. در حالت کمبود آب تاثیر دوره‌های کمبود رطوبتی خاک روی رشد گیاه در نظر گرفته می‌شود و بیشترین مقدار محصول در این حالت است (Boogaard *et al.*, 1998). با استفاده از این مدل عوامل موثر بر رشد فنولوژیکی شامل جذب CO_2 ، تعرق، تنفس، تقسیم کربوهیدرات‌ها به اندام‌های مختلف و تشکیل ماده خشک و همچنین شکل‌گیری و رشد گیاه را از دوره جوانه‌زنی تا زمان رسیدن محصول بر اساس شرایط محیطی و ژنتیکی محصول می‌توان محاسبه نمود؛ همچنین میزان جذب CO_2 ناخالص از یک گیاه را بر پایه تابش فعال فتوسنتزی جذب شده توسط گیاه شبیه‌سازی می‌کند. برای واسنجی مدل از فاکتورهای اندازه‌گیری شده خصوصیات فیزیکی خاک، فاکتورهای گیاهی و داده‌ای مشاهداتی فنولوژیکی استفاده شد که در این پژوهش برای واسنجی مدل از داده‌های سال ۱۳۹۱ و برای صحتسنجی مدل از داده‌های سال ۱۳۹۲ استفاده شد. در واسنجی و صحتسنجی بر اساس مراحل زیر اجرا و تمامی تیمارهای آبیاری در نظر گرفته شد (Zabihi *et al.*, 2015).

- اجرای مدل و تعیین عملکرد شبیه‌سازی شده در تیمارهای مختلف
- مقایسه عملکرد واقعی حاصل از آزمایش مزرعه‌ای با

(2018).

نتایج و بحث

برای واسنجی مدل SDSM از داده‌های ۱۵ سال اول ایستگاه سینوپتیک هاشم‌آباد گرگان (۱۹۸۰-۱۹۹۵) و برای صحت‌سنجی از داده‌های ۱۵ سال دوم (۲۰۱۰-۱۹۹۵) استفاده شد. مقادیر مربعات خطأ (RMSE)، میانگین خطای مطلق (MAE) و ضریب تبیین (R^2) با استفاده از داده‌های هواشناسی در جدول (۳) آورده شده است.

قطعیت مدل بسیار موثر است (Nikkho Amiri et al., 2019). برای آنالیز حساسیت از روش تحلیل حساسیت منطقه‌ای استفاده شد. در این روش با استفاده از روش نمونه‌گیری تصادفی مربع لاتین از فضای پارامتری مدل نمونه‌گیری شد و مجموعه پارامترهای مختلفی به صورت تصادفی تولید شد و خروجی‌های مدل مناسب با آن‌ها بعد از اجرای مدل مورد ارزیابی قرار گرفت. پس از نمونه‌گیری از فضای پارامتری، مجموعه پارامترهای تولید شده بر اساس مقادیر تابع هدف به دست آمده متناظر مرتباً شد. سپس تابع توزیع تجمعی پارامترهای مدل توسط آزمون Shafiei et al., (2018) مقایسه شدند که نتایج با یکدیگر مطابقت داشتند.

جدول ۳- شاخص‌های آماری ارزیابی مدل SDSM

RCP8.5				RCP4.5				RCP2.6				شاخص ارزیابی	
بارش	دماي كمييه	دماي بيشينه	دماي بيشينه	بارش	دماي كمييه	دماي بيشينه	دماي بيشينه	بارش	دماي كمييه	دماي بيشينه	دماي بيشينه	RMSE	
۱۱/۲۴	۴/۲۸	۴/۷۶	۴/۷۶	۱۱/۲۲	۳/۶۱	۳/۸۶	۵/۶	۳/۴۰	۳/۵۶	۳/۴۰	۳/۵۶	RMSE	
۰/۹۱	۰/۹۲	۰/۹۳	۰/۹۳	۰/۹۵	۰/۹۰	۰/۹۲	۰/۹۶	۰/۹۰	۰/۹۲	۰/۹۰	۰/۹۲	R^2	
۹/۳۳	۳/۹۷	۴/۱۲	۴/۱۲	۹/۳۲	۳/۲۷	۳/۳۹	۴/۲۱	۳/۱۴	۳/۲۲	۳/۲۲	۳/۲۲	MAE	

این پژوهش با نتایج تحقیقات Hosseini et al. (2016) در مورد دقت بالای مدل SDSM در محاسبه پارامتر دما، مطابقت دارد. شکل‌های (۳) و (۴) نتایج حاصل از میانگین ماهانه پارامترهای دمای حداقل (درجه سانتی‌گراد)، دمای حداکثر (درجه سانتی‌گراد) و بارش (میلی‌متر) را تحت سناریوهای اقلیمی مختلف به ترتیب در دوره‌های ۲۰۰۰-۲۰۵۰ و ۲۰۵۰-۲۰۸۰ نشان می‌دهد. با توجه به شکل (۳) میانگین ماهانه دمای حداقل در دوره ۲۰۰۰-۲۰۵۰ نشان می‌دهد که در ایستگاه هاشم‌آباد کمترین افزایش دمای حداقل در فصل زمستان و سناریوی RCP2.6 است. همچنین طبق نتایج به دست آمده بیشترین افزایش دما مربوط به فصل تابستان و سناریوی RCP8.5 است. در شکل (۴) کمترین افزایش دمای حداکثر برای سناریوی RCP2.6 در ماه اوت است. با مقایسه دمای حداقل و حداکثر در دوره آتی، این نتیجه حاصل می‌شود که پارامتر دما در دوره‌های آتی در تمامی ماه‌ها با افزایش همراه خواهد بود که در دوره دوم آتی (۲۰۵۰-۰۸۰) با افزایش ۲ درجه سانتی‌گراد می‌باشد. میانگین ماهانه بارش در بیشتر ماه‌های سال در دوره آتی نسبت به دوره پایه دچار تغییرات شده است. با توجه به شکل‌های (۳) و (۴) برای میانگین بارش ماهانه، برای سناریوی RCP8.5 کمترین مقدار بارش برای ماه اوت در فصل تابستان است. همچنین با توجه به این شکل‌ها برای سناریوی RCP2.6 است. همچنین با توجه به این شکل‌ها برای سناریوی RCP8.5 بیشترین مقدار بارش برای ماه مارس در اوایل بهار و اواخر زمستان است. یافته‌های این بخش از پژوهش با نتایج تحقیق Basheer et al. (2016) مطابقت دارد. آن‌ها گزارش کردند که دما برای سناریوهای مختلف در دوره‌های آتی افزایش خواهد یافت در

با توجه به جدول (۳) مشاهده می‌شود که مقادیر شاخص ارزیابی RMSE در بین هر سه سناریوی RCP4.5، RCP2.6 و RCP8.5 برای پارامترهای هواشناسی (دماي بيشينه، دماي كمييه و بارش) بيشترین مقدار را در سناریوی بدبينانه RCP8.5 نسبت به حالت خوش‌بینانه نشان می‌دهد. شاخص R^2 بيشترین همبستگی را برای سناریوی RCP2.6 در مقایسه با سایر سناریوها به جز در مورد دمای كمييه دارا است و برای معیار MAE نیز مطابق با شاخص RMSE در حالت بدبينانه (RCP8.5) مقدار خطای بيشتری را بهخصوص برای بارش نشان می‌دهد و این نشان‌دهنده متغیر بودن و ثابت نبودن پارامتر بارش در مدل SDSM نسبت به پارامترهای دیگر است.

همچنین از آزمون کلموگروف- اسمیرنوف (KS) برای مقایسه بین توابع توزیع احتمالی استفاده شد (جدول ۴). از آزمون KS برای همسان‌سازی اطلاعات تجربی با توزیع آماری منتخب و از آزمون t برای مقایسه ارزیابی میانگین نمونه با میانگین جامعه به‌طوری که انحراف معیار جامعه مجھول باشد. در هر یک از آزمون‌ها احتمال یکسان بودن توزیع مشاهداتی و محاسباتی محاسبه شدند. اگر این مقدار کوچک و کمتر از سطح معنی‌داری (۰/۰۵ تا ۰/۰۵) باشد، یکسان بودن شبیه‌سازی تولیدی اقلیم Daneshfaraz & Razaghpoor (2014) در جدول‌های (۴) و (۵) نتایج حاصل از آزمون‌های KS و برای پارامترهای دمای كمييه، دماي بيشينه و بارش ارائه شده است. نتایج ارزیابی مدل SDSM نشان داد که پارامترهای حداقل دما و حداکثر دما با دقت بالایی شبیه‌سازی شده و پارامتر بارش خطای بیشتری در شبیه‌سازی دارد ولی در حد قابل قبول است. یافته‌های

دیدبانی یک ساله است و احتمال وقوع دمای زیر ۵ درجه در سناریوی RCP2.6 به یک درصد افزایش و در سناریوی RCP4.5 به ۸۳ درصد کاهش یافته است.

حالی که بارش از الگوی خاصی پیروی نمی‌کند. بود. Bayatani (2020) et al. بیان کردند که سناریوهای مختلف اقلیمی در دوره آتی نشان می‌دهند که در اثر تغییر اقلیم، آستانه دوره برگشت

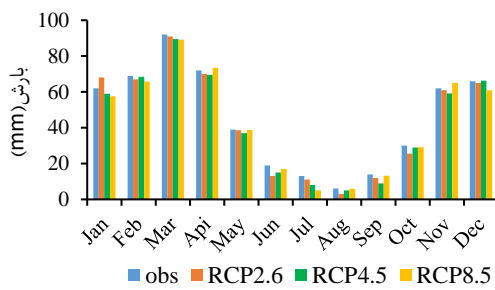
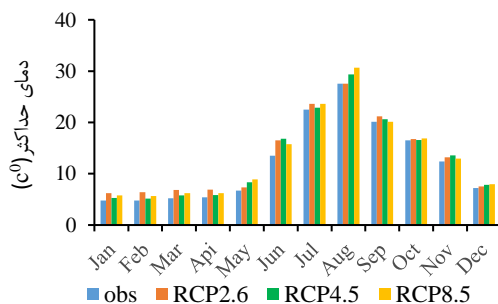
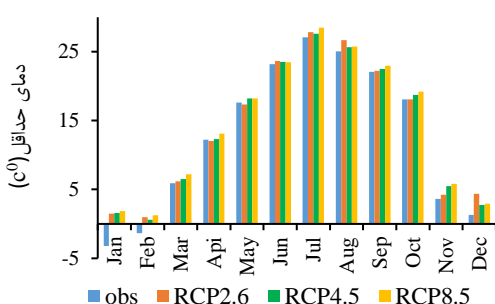
جدول ۴- نتایج آزمون کلموگروف- اسپیرنوف (KS) برای توزیع‌های مشاهداتی و شبیه‌سازی شده برای پارامترهای دمای کمینه، دمای بیشینه و بارش ماهانه

توسط مدل SDSM

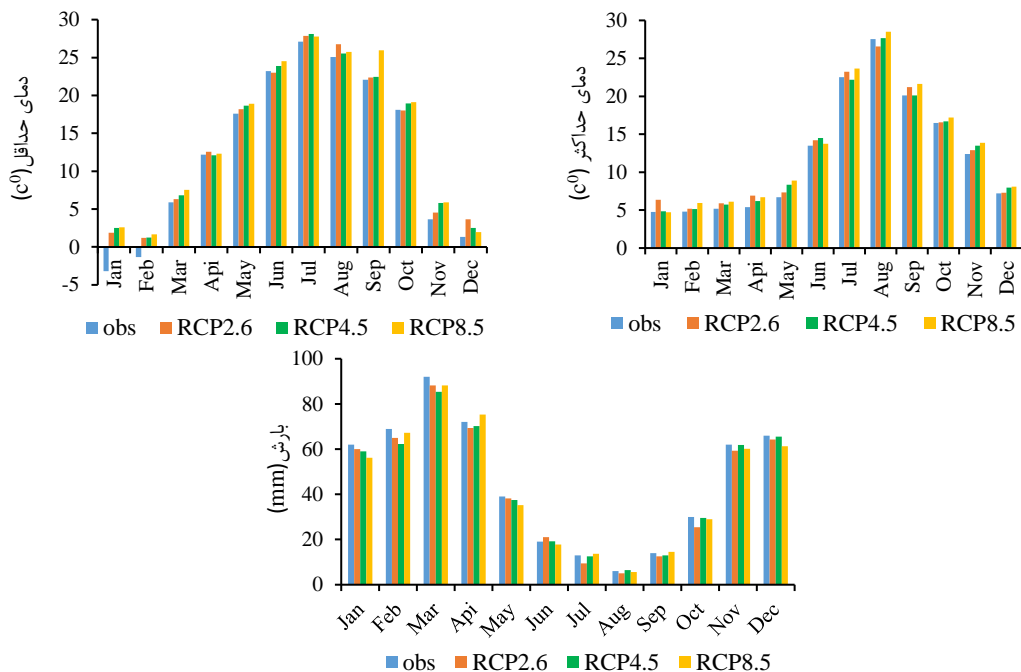
پارامتر	ماه	ژانویه	فوریه	مارس	آوریل	مه	ژوئن	جولای	اوت	سپتامبر	اکتبر	نوامبر	دسامبر
آزمون KS	دما	-۰/۱۵۶	-۰/۱۵۶	-۰/۰۵۸	-۰/۰۵۸	-۰/۱۵۶	-۰/۱۵۶	-۰/۱۵۶	-۰/۱۵۶	-۰/۱۵۶	-۰/۰۵۹	-۰/۰۵۸	-۰/۱۵۶
کمینه	احتمال	-۰/۹۸۸	-۰/۹۸۸	۱	-۰/۹۸۸	-۰/۹۸۸	-۰/۹۸۸	-۰/۹۸۸	-۰/۹۸۸	-۰/۹۸۸	۱	۱	-۰/۹۸۸
آزمون KS	دما	-۰/۱۵۶	-۰/۱۵۶	-۰/۱۵۶	-۰/۱۷۶	-۰/۱۵۶	-۰/۱۵۶	-۰/۱۵۶	-۰/۱۵۶	-۰/۱۷۶	-۰/۰۵۴	-۰/۰۵۸	-۰/۱۵۶
بیشینه	احتمال	۱	-۰/۹۸۸	-۰/۹۸۸	-۰/۹۷۸	-۰/۹۸۸	-۰/۹۷۱	-۰/۹۸۸	-۰/۹۸۸	-۰/۹۷۸	-۰/۹۸۸	۱	-۰/۹۸۸
آزمون KS	آزمون KS	-۰/۰۸۱	-۰/۰۴۳	-۰/۰۸۷	-۰/۱۱۵	-۰/۰۸۶	-۰/۰۹۱	-۰/۰۴۴	-۰/۰۴۳	-۰/۰۶۱	-۰/۰۶۳	-۰/۰۷۲	-۰/۰۸۴
بارش	احتمال	۱	-۰/۹۸۵	۱	-۰/۹۹۳	۱	-۰/۹۸۸	۱	-۰/۹۹۳	-۰/۹۸۸	۱	۱	-۰/۹۸۵

جدول ۵- مقایسه مقادیر میانگین دمای کمینه، دمای بیشینه و بارش ماهانه داده‌های مشاهداتی و شبیه‌سازی شده توسط مدل SDSM

ماه	ژانویه	فوریه	مارس	آوریل	مه	ژوئن	جولای	اوت	سپتامبر	اکتبر	نوامبر	دسامبر
میانگین مشاهداتی	-۴/۵	-۴/۵	-۶/۹	-۱۰/۸	-۱۵/۷	-۲۰/۲	-۲۴/۲	-۲۴/۵	-۲۰/۳	-۱۴/۴	-۹/۲	-۴/۹
میانگین محاسباتی	-۴/۴	-۴/۱	-۶/۳	-۱۰/۷	-۱۵/۱	-۱۹/۶۷	-۲۳	-۲۳/۲	-۱۹/۹	-۱۳/۹	-۸/۷	-۵/۳
آزمون t	-۰/۱۶۴	-۰/۲۵۲	-۰/۳۷۲	-۰/۷۷۹	-۰/۳۳۹	-۰/۴۷۲	-۰/۷۲۱	-۰/۷۲۷	-۰/۶۲۹	-۰/۰۵۷	-۱/۲۸۷	-۱/۷۲
احتمال	-۰/۸۸۲	-۰/۷۲۱	-۰/۷۲۰	-۰/۲۲۰	-۰/۴۴۹	-۰/۷۴۱	-۰/۶۵۲	-۰/۴۸۱	-۰/۵۴۱	-۰/۹۶۳	-۰/۲۰۹	-۰/۰۹۳
میانگین مشاهداتی	-۱۲/۹	-۱۳/۷	-۱۶/۲	-۲۲/۴	-۲۷/۴	-۳۱/۹	-۳۱/۹	-۳۲/۷	-۳۲/۲	-۲۰/۳	-۱۴/۴	-۱۴/۸
میانگین محاسباتی	-۱۲/۶	-۱۲/۱	-۱۳/۱	-۲۲/۴	-۲۷/۳	-۳۰/۴	-۳۲/۴	-۳۳/۱	-۳۳/۲	-۲۳/۹	-۱۰/۳۵	-۱/۰۷
آزمون t	-۰/۴۷۳	-۰/۳۷۵	-۰/۱۰۹	-۰/۰۸۲	-۰/۱۳۲	-۰/۷۲۴	-۰/۷۲۴	-۰/۷۱۸	-۰/۵۴۲	-۰/۰۴۱	-۰/۹۶۳	-۰/۲۰۹
احتمال	-۰/۴۷۳	-۰/۳۲۵	-۰/۱۲۳	-۰/۱۱۹	-۰/۱۰۸	-۰/۴۸۱	-۰/۶۵۲	-۰/۵۱	-۰/۵۴۱	-۰/۰۵۷	-۱/۲۸۷	-۱/۷۲
میانگین مشاهداتی	-۴۹/۹	-۴۹/۴۳	-۶۸/۸۷	-۴۴/۳۳	-۴۱/۵۴	-۴۱/۵۷	-۴۲/۲	-۴۲/۷	-۴۰/۷۸	-۴۰/۷۸	-۴۰/۷۸	-۵۴/۴۷
میانگین محاسباتی	-۵۱/۴۹	-۵۱/۳۲	-۶۶/۲۳	-۵۰/۱۷	-۵۰/۱۷	-۵۱/۴۹	-۵۱/۴۹	-۵۱/۴۹	-۵۱/۴۹	-۵۱/۴۹	-۵۱/۴۹	-۵۵/۲۸
آزمون t	-۰/۳۸۹	-۰/۳۵۴	-۰/۴۷۶	-۰/۹۳۷	-۰/۸۴۹	-۰/۹۱۵	-۰/۹۱۵	-۰/۵۶۱	-۰/۰۵۷	-۰/۰۵۷	-۰/۰۵۷	-۰/۱۱۲
احتمال	-۰/۷۴۶	-۰/۳۲۵	-۰/۱۲۳	-۰/۱۱۹	-۰/۱۰۸	-۰/۵۷۸	-۰/۵۷۸	-۰/۱۶۴	-۰/۰۴۱	-۰/۰۴۱	-۰/۰۴۱	-۰/۹۴۵



شکل ۳- میانگین ماهانه متغیرها در دوره ۲۰۲۰-۲۰۵۰ تحت سناریوهای اقلیمی مختلف



شکل ۴- میانگین ماهانه متغیرها در دوره ۲۰۵۰-۲۰۸۰ تحت سناریوهای اقلیمی مختلف

تحلیل حساسیت پارامترهای مدل WOFOST برای گیاه ذرت علوفه‌ای پرداختند، نشان دادند که تاثیرگذارترین پارامترها در شبیه‌سازی عملکرد مربوط به تاثیر دما (پارامترهای TSUMAM و SLA) و فرایند جذب نور (EFF و AMAX) در گیاه می‌باشند.

جدول (۶) نتیجه آنالیز حساسیت پارامترهای ورودی مدل WOFOST را نشان می‌دهد. در این مدل پارامترهای دما، (AMAX)، TSUMAM، (SLA)، جذب دی اکسیدکربن (AMAX) و سطح ویژه برگ (SLA) جزو پارامترهای تاثیرگذار در مدل WOFOST است. Shafiei et al. (2018) نیز در پژوهشی که به

جدول ۶- آنالیز حساسیت پارامترهای مدل WOFOST

پارامترهای گیاهی	شرح	واحد	شدت حساسیت	درجه حساسیت
TSUMEAM1	مجموع درجه حرارت از کاشت تا سبزشندن	C°	0/۳۱	زياد
TSUMAM2	مجموع درجه حرارت از سبزشندن تا بلوغ	C°	0/۱۵۴	زياد
LAIEM	شاخص سطح برگ در ابتدای رشد	ha ha ⁻¹	0/۰۱۱	غير حساس
SPAN	طول دوره رشد برگ‌ها در دمای ۳۵ درجه	d	0/۰۹	غير حساس
SLA	سطح ویژه برگ	ha kg ⁻¹	0/۳۹۵	زياد
KDIF	ضریب خاموشی	-	0/۰۰۵	غير حساس
KDIR	ضریب روشنایی	-	0/۰۱	كم
EFF	راندمان مصرف نور	Kg ha ⁻¹ hr ⁻¹ m ⁻²	0/۱۴۲	زياد
AMAX	حداکثر شدت جذب CO ₂	Kg ha ⁻¹ hr ⁻¹	0/۱۵۱	زياد
CVL	راندمان تبدیل	Kg kg ⁻¹	0/۰۳۹	متوسط
RGRLAE	حداکثر در شاخص سطح	-	0/۳۳۹	زياد
CVO	راندمان تبدیل CO ₂ جذب شده به اندام‌های ذخیره‌ای	Kg Kg ⁻¹	0/۰۱۹	كم
CVR	راندمان تبدیل CO ₂ جذب شده به ریشه	Kg Kg ⁻¹	0/۰۲۱	كم
CVS	راندمان تبدیل CO ₂ جذب شده به ساقه	Kg Kg ⁻¹	0/۰۷۸	متوسط
RML	تنفس نگهداری نسبی برگ‌ها	Kg CH ₂ O Kg ⁻¹ d ⁻¹	0/۰۲۳	كم
RMO	تنفس نگهداری نسبی اندام ذخیره‌ای	Kg CH ₂ O Kg ⁻¹ d ⁻¹	0/۰۱۰	غير حساس
RMR	تنفس نگهداری نسبی ریشه‌ها	Kg CH ₂ O Kg ⁻¹ d ⁻¹	0/۰۱۷	كم
RMS	تنفس نگهداری نسبی ساقه‌ها	Kg CH ₂ O Kg ⁻¹ d ⁻¹	0/۰۴۲	متوسط

بهمنظور صحت‌سنجی مدل، با استفاده از اطلاعات اندازه‌گیری شده، عملکرد محصول در شرایط تیمارهای مختلف آبیاری

با استفاده از اطلاعات دو ساله مزرعه مورد مطالعه، داده‌های ورودی مورد نیاز تهیه و واسنجی مدل WOFOST انجام شد.

مختلف آب آبیاری را ارایه می‌دهد که پس از وارد نمودن تمامی اطلاعات مورد نیاز، مدل WOFOST اجرا شد.

شبیه‌سازی و با عملکرد واقعی مقایسه شد. جدول (۷) پارامترهای واسنجی شده مدل WOFOST برای گیاه ذرت تحت شرایط

جدول ۷- پارامترهای واسنجی شده مدل WOFOST

پارامتر	شرح
TSUM1	واحدهای حرارتی تجمع یافته از سبزشدن تا گلدهی
TSUM2	واحدهای حرارتی تجمع یافته از گلدهی تا رسیدن فیزیولوژیک
SLA	سطح برگ ویژه
RGRLAE	حداکثر افزایش نسبی در شاخص سطح برگ
CVL	راندمان تبدیل CO_2 جذب شده به برگ
CVO	راندمان تبدیل CO_2 جذب شده به اندام‌های ذخیره‌ای
CVR	راندمان تبدیل CO_2 جذب شده به ریشه
CVS	راندمان تبدیل CO_2 جذب شده به ساقه

کاهش عملکرد محصول با کاهش مقدار آب آبیاری در مدل نسبت به روند عملکرد محصول اندازه‌گیری شده در سطح مزرعه می‌باشد. مقدار بازده نیز برای مزرعه موردنی مطالعه بیشتر از ۸۶ درصد به دست آمد. همچنین مدل توانست با همبستگی بالایی (بیشتر از ۰/۹۳) مقدار عملکرد دانه را شبیه‌سازی کند. Afzali et al. (2019) به شبیه‌سازی رشد و نمو گیاه ذرت در جیرفت پرداختند و نشان دادند که ضریب کارایی مدل برای عملکرد دانه، زیست توده و شاخص برداشت به ترتیب برابر ۰/۹۹، ۰/۸۷ و ۰/۸۲ بود.

جدول (۸) مقادیر اندازه‌گیری و شبیه‌سازی شده عملکرد دانه توسط مدل WOFOST برای تمام تیمارهای آبیاری ارایه شده است. نتایج نشان داد که بیشترین مقدار عملکرد دانه مربوط به سال ۱۳۹۲ بوده و برابر ۹/۵ تن بر هکتار به دست آمد. نتایج شاخص‌های آماری نشان می‌دهد که مدل WOFOST توانست مقدار عملکرد دانه را با دقت بالایی در اثر کم آبیاری و ایجاد تنفس شبیه‌سازی کند (جدول ۸). نتایج هر دو سال کشت نشان می‌دهد که مقدار RMSE در حد پایین می‌باشد. مقدار شاخص سازگاری بیشتر از ۹۵ درصد به دست آمد که نشان‌دهنده سازگاری روند

جدول ۸- مقادیر عملکرد دانه و شبیه‌سازی شده برای تیمارهای مختلف آب آبیاری

CRM	R^2	شاخص‌های آماری				شبیه‌سازی شده (تن بر هکتار)	اندازه‌گیری شده (تن بر هکتار)	سال کشت	پارامتر گیاهی		
		E	d	RMSE	T ₃	T ₂	T ₁				
۰/۱۵	۰/۹۳	۰/۹۴	۰/۹۷	۰/۲۱۷	۵/۹	۷/۳	۸/۲	۶/۴	۷/۹	۸/۴	عملکرد دانه سال اول
۰/۱۴	۰/۹۶	۰/۹۳	۰/۹۸	۰/۲۴۱	۶/۶	۷/۸	۸/۶	۷/۸	۸/۷	۹/۵	عملکرد دانه سال دوم

پایه ۸/۴۲ درصد کاهش دارد. در این دوره کمترین عملکرد در تیمار T₃ تحت سناریوی RCP8.5 در تاریخ ۱۲ خرداد به مقدار ۳/۳ تن بر هکتار پیش‌بینی شد که نسبت به دوره پایه ۴۸/۴۳ درصد کاهش دارد. کاهش عملکرد ذرت به دلیل افزایش دما در شرایط سناریوهای اقلیمی آینده می‌باشد. با توجه به مقایسه نتایج عملکرد سناریوهای مختلف، بهترین تاریخ کشت در دوره ۲۰۵۰-۲۰۲۰ تاریخ ۲ تیر (با دامنه تغییرات ± 3 روز) برای ذرت دیر رس با GDD ۱۸۰۰ می‌باشد. Ceglar & Bogataj (2012) گزارش کرده‌اند که عملکرد ذرت بیشتر به شرایط آب و هوایی در طول دوره ۹۰ تا ۱۱۰ روز پس از کاشت بستگی دارد و دمای بالا، رطوبت نسبی کم و بارندگی کم در این دوره بر رشد ذرت تاثیر منفی می‌گذارد و منجر به کاهش تولید ماده خشک می‌شود. منفی می‌گذارد و منجر به کاهش تولید ماده خشک می‌شود. Moradi et al. (2014) در پژوهشی به ارزیابی تغییر تاریخ کشت بر عملکرد ذرت در شهرستان مشهد پرداختند. نتایج شبیه‌سازی

به منظور کاهش اثرات منفی تغییر اقلیم بر رشد و عملکرد ذرت تغییر تاریخ کشت به عنوان راهکار سازگاری در نظر گرفته WOFOST شد و مقدار عملکرد دانه شبیه‌سازی شده توسط مدل تحت سناریوهای مختلف اقلیمی برای تاریخ‌های مختلف کشت در دوره‌های ۲۰۲۰-۲۰۵۰ و ۲۰۵۰-۲۰۸۰ به ترتیب در جدول‌های (۹) و (۱۰) ارائه شده است. در دوره ۲۰۲۰-۲۰۵۰ بیشترین عملکرد دانه ذرت در تیمار T₁ تحت سناریوی RCP2.6 در تاریخ ۲ تیر به مقدار ۹/۸ تن بر هکتار پیش‌بینی شد که نسبت به دوره پایه ۳/۱۵ درصد کاهش دارد. در این دوره کمترین عملکرد در تیمار T₃ تحت سناریوی RCP8.5 در تاریخ ۱۲ خرداد به مقدار ۴/۳ تن بر هکتار پیش‌بینی شد که نسبت به دوره پایه ۲۲/۸۱ درصد کاهش دارد. در دوره ۲۰۲۰-۲۰۸۰ در دوره ۲۰۵۰-۲۰۸۰ بیشترین عملکرد دانه ذرت در تیمار T₁ تحت سناریوی RCP2.6 در تاریخ ۲ تیر به مقدار ۸/۷ تن بر هکتار پیش‌بینی شد که نسبت به دوره

میزان فتوسنترز گیاهان زراعی گذاشته و بر عملکرد آنها اثرگذار است. Li *et al.* (2011) با بررسی تغییرات اقلیمی گزارش کردند که عملکرد ذرت تا سال ۲۰۳۰ در چین و آمریکا به ترتیب ۲۳ و ۸ درصد کاهش خواهد داشت.

آنها نشان داد که عملکرد ذرت تحت تاثیر تغییر اقلیم از ۱۱ تا ۳۸ درصد نسبت به شرایط پایه کاهش یافت. Mera *et al.* (2006) گزارش کردند که افزایش درجه حرارت با تاثیر بر مرحله گلدهی و کاهش درصد تلقیح، باعث کاهش عملکرد ذرت می‌شود. Meza *et al.* (2008) نشان دادند که تغییر اقلیم بیشترین تاثیر را بر

جدول ۹- شبیه‌سازی عملکرد دانه (تن بر هکتار) در تاریخ‌های کشت مختلف در دوره ۲۰۲۰-۲۰۵۰

۱۰۰ درصد آب مورد نیاز گیاه									
۷۵ درصد آب مورد نیاز گیاه									
۵۰ درصد آب مورد نیاز گیاه									
RCP8.5	RCP4.5	RCP2.6	RCP8.5	RCP4.5	RCP2.6	RCP8.5	RCP4.5	RCP2.6	تاریخ
۴/۳	۴/۸	۵/۱	۵/۴	۵/۹	۶/۲	۶/۸	۷/۴	۷/۹	۱۲ خرداد
۴/۹	۵/۲	۵/۶	۵/۸	۶/۲	۶/۸	۷/۲	۷/۸	۸/۲	۱۹ خرداد
۵/۵	۶/۴	۶/۹	۷/۲	۷/۸	۸/۲	۸/۷	۹/۱	۹/۴	۲۶ خرداد
۶/۹	۷/۴	۷/۹	۸/۱	۸/۴	۸/۷	۹/۱	۹/۵	۹/۸	۲ تیر

جدول ۱۰- شبیه‌سازی عملکرد دانه (تن بر هکتار) در تاریخ‌های کشت مختلف در دوره ۲۰۵۰-۲۰۸۰

۱۰۰ درصد آب مورد نیاز گیاه									
۷۵ درصد آب مورد نیاز گیاه									
۵۰ درصد آب مورد نیاز گیاه									
RCP8.5	RCP4.5	RCP2.6	RCP8.5	RCP4.5	RCP2.6	RCP8.5	RCP4.5	RCP2.6	تاریخ
۲/۳	۳/۹	۴/۴	۴/۹	۵/۴	۵/۷	۶/۳	۶/۹	۷/۴	۱۲ خرداد
۳/۹	۴/۲	۴/۷	۵/۳	۵/۷	۶/۳	۶/۹	۷/۴	۷/۸	۱۹ خرداد
۴/۵	۵/۱	۵/۶	۶/۲	۶/۶	۷/۱	۷/۶	۷/۹	۸/۳	۲۶ خرداد
۴/۸	۵/۴	۶/۱	۶/۶	۷/۱	۷/۶	۷/۹	۸/۳	۸/۷	۲ تیر

در دوره ۲۰۵۰-۲۰۸۰ نیز بیشترین عملکرد دانه ذرت در تیمار T₁ تحت سناریوی RCP2.6 در تاریخ ۲ تیر به مقدار ۸/۷ تن بر هکتار پیش‌بینی شد که نسبت به دوره پایه ۸/۴۲ درصد کاهش دارد. در این دوره کمترین عملکرد در تیمار T₃ تحت سناریوی RCP8.5 در تاریخ ۱۲ خرداد به مقدار ۳/۳ تن بر هکتار پیش‌بینی شد که نسبت به دوره پایه ۴۸/۴۳ درصد کاهش دارد. کاهش عملکرد ذرت به دلیل افزایش دما در شرایط سناریوهای اقلیمی آینده می‌باشد. بررسی‌های اقلیمی بر مقدار عملکرد شبیه‌سازی شده توسط مدل WOFOST در تاریخ‌های مختلف کشت نشان داد که کشت ذرت در سنینگل کراس دیر رس برای شرایط سناریوهای اقلیمی مرتبط در تاریخ ۲ تیر ماه (با دامنه تغییرات ±۳ روز) باعث تولید عملکرد بالاتری نسبت به سایر تاریخ‌های کاشت در شرایط تغییر اقلیمی خواهد شد. مدیریت مناسب تاریخ کشت برای تعديل اثرات منفی تغییر اقلیمی بر عملکرد گیاه ذرت را می‌توان به عنوان یک راهکار مناسب در شهرستان گرگان در نظر گرفت تا از کاهش عملکرد به دلیل انتخاب تاریخ کاشت نامناسب جلوگیری نمود.
"هیچ‌گونه تعارض منافع بین نویسنده‌گان وجود ندارد"

نتیجه‌گیری

در این پژوهش اثرات تغییر اقلیمی بر عملکرد دانه گیاه ذرت در دوره‌های زمانی ۲۰۵۰-۲۰۸۰ و ۲۰۲۰-۲۰۵۰ تحت سناریوهای اقلیمی RCP8.5 و RCP4.5، RCP2.6 و SDSM با دقت بالایی قادر به شبیه‌سازی پارامترهای دمای حداقل و دمای حداکثر بوده ولی در شبیه‌سازی بارش نسبت به دیگر پارامترها خطای بیشتر اما در حد قابل قبول بود. مقدار عملکرد ذرت در شهرستان گرگان در دوره‌های آینده نسبت به دوره پایه کاهش خواهد داشت و این کاهش عملکرد در دوره ۲۰۵۰-۲۰۸۰ به دلیل افزایش دما بیشتر از دوره ۲۰۲۰-۲۰۵۰ خواهد بود. در دوره T₁ تحت سناریوی RCP2.6 در تاریخ ۲ تیر به مقدار ۹/۸ تن بر هکتار پیش‌بینی شد که نسبت به دوره پایه ۳/۱۵ درصد کاهش دارد. در این دوره کمترین عملکرد در تیمار T₃ تحت سناریوی RCP8.5 در تاریخ ۱۲ خرداد به مقدار ۴/۳ تن بر هکتار پیش‌بینی شد که نسبت به دوره پایه ۳۲/۸۱ درصد کاهش دارد.

REFERENCES

- Afzali, M., Taei Semiroomi, J., & Amirinezhad, M. (2018). Evaluation of WOFOST model for growth and development simulation of maize under

summer cropping system conditions in sub-tropical region of Southern Kerman. Iranian Journal of Field Crop Science, 49(1): 57-64. In

Farsi

- Ahmadi, M., Hooshmand, A., Broomand Nasab, S., & Sharifi, M. A. (2019). Calibration and validation of WOFOST model for wheat in Qazvin plain. *Iranian Journal of Soil and Water Research*, 50(2): 329-338. In Farsi
- Basheer, A. K., Lu, H., Omer, A., Ali, A. B., & Abdeldgader, A. M. S. (2016). Impacts of climate change under CMIP5 RCP scenarios on the streamflow in the Dinder River and ecosystem habitats in Dinder National Park, Sudan. *Hydrology and Earth System Sciences*, 20: 1331-1353.
- Bayatani, F., Fallah Ghalhari, G., Karami, M., & Taeei Samiromi, J. (2020). The impacts of climate change on the risk of cold stress in autumn crop pattern (Case study: Tropical and subtropical areas of Kerman province). *Journal of Natural Environmental Hazards*, 9(24): 63-78. In Farsi
- Bhatia, V.S., P., Singh, S. P., Wani, G. S., Chauhan, A. V. R., Rao Mishra, A. K., & Srinivas, K. (2008). Analysis of potential yields and yield gaps of rainfed soybean in India using CROPGRO Soybeanmodel. *Agricultural and Forest Meteorology* 148: 1252-1265.
- Boogaard, H. L., Van Diepen, C. A., Roetter, R. P., Cabrera, J. M. C. A. & Van Laar, H. H. (1998). WOFOST 7.1; User's Guide for the WOFOST 7.1 crop growth simulation model and WOFOST Control Center 1.5 DLO Winand Staring Center, Wageningen, The Netherlands.
- Ceglar, A., & Kajfez-Bogataj, L. (2012). Simulation of maize yield in current and changed climatic conditions: Addressing modelling uncertainties and the importance of bias correction in climate model simulations. *European Journal of Agronomy*, 37: 83-95.
- Daneshfaraz, R., & Razaghpoor, H. (2014). Evaluation of climate change impacts on potential evapotranspiration in the west Azerbaijan province. *Journal of Geographic Space*, 14(46): 199-211. In Farsi
- Dowswell, C. (2019). Maize in the third world. CRC Press.
- Egdernezhad, A., Masjedi, A. R., Shokouhfar, A. R., & Alavifazel, M. (2018). Evaluation of AquaCrop and WOFOST in simulating of corn yield under deficit irrigation. *Journal of Plant Production Science*, 8(1): 69-82. In Farsi
- Ghonchehpour, D., Sadoddin, A., Bahremand, A., Salmanmahini, A., & Jakeman, A. (2019). Application of a quantitative screening approach in statistical downscaling model (SDSM) to generate climate change scenarios (Case study: the Gorgan-roud River Basin). *Ecohydrology*, 6(2): 397-414. In Farsi
- Hosseini, S. T., Khoshravesh, M., & Ziatabar Ahmadi, M. (2016). Effect of climate change and evaluation of planting date on soybean yield. *Journal of Water Research in Agriculture*, 29(4): 559-575. In Farsi
- IPCC. (2014). Climate Change 2014: Synthesis Report, Contribution of Working Groups I, II and III to the Fourth Assessment Report of the Intergovernmental Panel on Climate Change [Core Writing Team, 48-Pachauri, R.K and Reisinger, A. (Eds.)]. IPCC, Geneva, Switzerland, 104 pp.
- Khoshravesh, M., & Norooz Valashedi, R. (2020). Investigation the effect of climate change scenarios on the monthly flow discharge at the outlet of Gelevard Dam. *Journal of Water and Soil Conservation*, 27(4): 23-43. In Farsi
- Khoshravesh, M., Abedi-Koupai, J., & Nikzad-Tehrani, E. (2016). Detection of trends in hydro-climatological variables using parametric and non-parametric tests in Neka basin. *Journal of Water and Soil Science*, 19(74), 1-14. In Farsi
- Khoshravesh, M., Valipour, M., & Gholami Sefidkouhi, M. A. (2017). Estimation and trend evaluation of reference evapotranspiration in a humid region. *Italian Journal of Agrometeorology*, 1, 19-36.
- Li, X., Takahashi, T., Suzuki, N., & Kaiser, H. M. (2011). The impact of climate change on maize yields in the United States and China. *Agricultural Systems* 104: 348-353
- Ma, G., Huang, J., Wu, W., Fan, J., Zou, J., & Wu, S. (2013). Assimilation of MODIS-LAI into the WOFOST model for forecasting regional winter wheat yield. *Mathematical and Computer Modelling*, 58(3): 634-643.
- Mera, R. J., Niyogi, D., Buol, G. S., Wilkerson, G. G., & Semazzi, F. H. M. (2006). Potential individual versus simultaneous climate change effects on soybean (C3) and maize (C4) crops: An agrotechnology model-based study. *Global and Planetary Change* 54: 163-182.
- Meza, F. J., Silva, D., & Vigil, H. (2008). Climate change impacts on irrigated maize in Mediterranean climates: Evaluation of double cropping as an emerging adaptation alternative. *Agricultural Systems* 98: 21-30
- Mirnaseri, M., Khoshravesh, M., Gholami, M. A. & Abbaspalangi, J. (2015). Estimation of nitrate concentrations in well and spring water using ANFIS and SVM models (Case study: Golestan province). 2(2): 1-12.
- Mohammadkhani, A., Pourgholam-Amiji, M., Sohrabi, T., & Liaghat, A. (2020). The effect of different levels of water stress in two surface and subsurface drip irrigation systems on yield and water productivity of maize. *Journal of Water and Irrigation Management*, 10(2): 247-264. In Farsi
- Moradi, R., Koochaki, A., & Nassiri Mahallati, M. (2014). Effect of climate change on maize production and shifting of planting date as adaptation strategy in Mashhad. *Agricultural Science and Sustainable Production*, 23(4): 111-130.
- Nikkho Amiri, S., Khoshravesh, M., Norooz Valashedi, R. (2019). Simulation of outflow time series at shahid Rajaei dam using SWAT model. *Journal of Irrigation and Water Engineering*,

- 10(1), 66-80. In Farsi
- Pourgholam Amiji, M., Liaghat, A., Nazi Ghameshlou, A., & Khoshravesh, M. (2019). The evaluation of Drainmod-S model for simulating the water table fluctuations and salt concentration in soil profiles in Paddy fields areas with a shallow water table and saline. *Iranian Journal of Irrigation & Drainage*, 12(6), 1418-1434. In Farsi
- Pourgholam-Amiji, M., Liaghat, A., Ghameshlou, A. N., & Khoshravesh, M. (2021). The evaluation of DRAINMOD-S and AquaCrop models for simulating the salt concentration in soil profiles in areas with a saline and shallow water table. *Journal of Hydrology*, 598, 126259.
- Pourgholam-Amiji, M., Liaghat, A., Ghameshlou, A., Khoshravesh, M., & Waqas, M. M. (2020). Investigation of the yield and yield components of rice in shallow water table and saline. *Big Data in Agriculture (BDA)*, 2(1), 36-40.
- Rahimi-Moghaddam, S., Eyni Nargeseh, H., Deihimfard, R., & Haghigat, M. (2019). Simulating climate change effect on maize grain yield in Kermanshah province using a process-based simulation model. *Iranian Journal of Crop Sciences*, 20(4): 315-328. In Farsi
- Sarafrouzeh, F., Jalali, M., Jalali, T., & Jamali, A. (2014). Changing the effect of future climate on water consumption of wheat in Tabriz. *Journal of Geographic Space*, 12(37): 96-81. In Farsi
- Shafiei, M., Ghahreman, B., Saghaian, B., Davari, K., & Vazifeh Doost, M. (2018). Global sensitivity analysis of WOFOST model parameters for maize and wheat yield simulation. *Iranian Journal of Soil and Water Research*, 49(4): 831-839. In Farsi
- Wilby, R. L., Dawson C. W., & Barrow, E. M. (2006). SDSM-a decision support tool for the assessment of regional climate change impacts. *Environmental Modeling and Software*, 17(3):147-159.
- Zabihi, A., Darzi-Nafchali, A., & Khoshravesh, M. (2015). Rice yield under surface and subsurface drainage managements and evaluation of AquaCrop model. *Journal of Irrigation and Water Engineering*, 20(5), 149-162. In Farsi
- Zabihi, A., Darzi-Nafchali, A., & Khoshravesh, M. (2017). Analysing drought stress effects on yield and water use efficiency of rice and the root zone salinity. *Environmental Stresses in Crop Sciences*, 9(4), 375-385. In Farsi